

## پیش‌بینی رفتار شارش داغ فولاد میکروآلیاژی با استفاده از مدل جانسون-کوک اصلاح‌شده\*

مقاله پژوهشی

حمید احمدی<sup>(۱)</sup>حمیدرضا رضایی آشتیانی<sup>(۲)</sup>محمد حیدری<sup>(۳)</sup>

## چکیده

مدل‌های رفتاری به‌عنوان ابزاری قدرتمند برای پیش‌بینی رفتار پیچیده ماده در شرایط پیچیده تغییر شکل استفاده می‌شوند. این معادلات می‌توانند رفتار شارشی مواد را با دقت مناسب در شرایط تغییر شکل مدل‌سازی و کنترل کنند. در این تحقیق یک مدل اصلاح‌شده از مدل رفتاری جانسون-کوک که در آن پارامترهای تغییر شکل دما، نرخ کرنش و کرنش در نظر گرفته شده است برای پیش‌بینی رفتار فولاد میکروآلیاژی L80 که دارای کاربرد گسترده در لوله‌های فولادی است، توسعه داده شده است. برای توسعه این مدل از داده‌های آزمون‌های فشار داغ تک‌محوره در دماهای ۱۱۷۳-۱۳۷۳ کلوین و نرخ‌های کرنش ۰/۰۱-۱ بر ثانیه استفاده شده است. نتایج تحلیل ریزساختاری، رفتار شارشی ماده را به‌درستی توصیف می‌کند. بررسی نتایج نشان می‌دهد که مدل توسعه داده‌شده با در نظر گرفتن اثرات نرم‌شوندگی حاصل از دما و سخت‌شوندگی ناشی از کرنش و نرخ کرنش، پیش‌بینی مناسبی از رفتار کار داغ فولاد میکروآلیاژی ارائه کرده است و می‌توان از این مدل در شبیه‌سازی فرایندهای تولید این فولاد در دما بالا استفاده کرد.

**واژه‌های کلیدی** معادله رفتاری، مدل جانسون-کوک اصلاح‌شده، تغییر شکل داغ، تنش شارش، ریزساختار.

## Prediction of Hot Flow Behavior of Micro-Alloy Steel Using Modified Johnson-Cook Model

H. Ahmadi

H. R. Rezaei Ashtiani

M. Heidari

### Abstract

Constitutive models can be used as a powerful tool to predict the complex behavior of materials under different deformation conditions. These equations can model and control the flow behavior of materials with appropriate accuracy by considering the parameters affecting the behavior of the material. In this study, a modified Johnson-Cook model has been developed to predict the hot working behavior of L80 micro alloy steel at various deformation parameters such as temperature, strain rate, and strain. In order to develop this model, experimental data related to hot compression tests at a temperature range of 1173-1373 K and strain rates of 0.001-1 s<sup>-1</sup> have been used. The results of the microstructure correctly describe the flow behavior of the material. The results show that the developed model, taking into account the softening effects of temperature as well as strain and strain rate hardening, provides a good prediction of the hot working behavior of micro-alloy steel and this developed model can be used to simulate the production processes of this steel at high temperatures.

**Keywords** Constitutive equation, Modified Johnson-Cook model, hot deformation, Flow stress, Microstructure.

\* تاریخ دریافت مقاله ۹۹/۸/۱۹ و تاریخ پذیرش آن ۹۹/۱۲/۱۱ می‌باشد.

(۱) دانشجوی دکتری گروه مهندسی مکانیک، واحد الیگودرز دانشگاه آزاد اسلامی، الیگودرز، ایران.

(۲) نویسنده مسئول: دانشیار دانشکده مهندسی مکانیک، دانشگاه صنعتی اراک، اراک، ایران.

(۳) استادیار گروه مهندسی مکانیک، واحد الیگودرز دانشگاه آزاد اسلامی، الیگودرز، ایران.

Email: hr\_rezaei@arakut.ac.ir

## مقدمه

فولاد میکروآلیاژی به‌عنوان یکی از فولادهای کربن متوسط شناخته می‌شود که در صنایع نفت و گاز و پتروشیمی به‌صورت لوله‌های بی‌درز استفاده می‌شود [1]. به‌طورکلی، روش‌های شکل‌دهی داغ مانند اکستروژن و نورد داغ در تولید لوله‌های بدون درز استفاده می‌شوند. در طول فرایندهای تولید، تغییرات ریزساختاری و استحاله‌های فاز در فولادها رخ می‌دهد که بر خواص مکانیکی و مقاومت خوردگی این لوله‌های فولادی اثر می‌گذارد [2]. بنابراین، شناخت رفتار کار داغ این فولادها می‌تواند به تولید لوله‌هایی با خواص مکانیکی و متالورژیکی مدنظر کمک کند.

یکی از مهم‌ترین و پرکاربردترین روش شکل‌دهی فلزات، شکل‌دهی داغ یعنی شکل‌دهی در دمای بالای تبلور مجدد است که در واقع یک فرایند پیچیده حرارتی مکانیکی محسوب می‌شود. فرایندهای حرارتی مکانیکی توصیف‌کننده مجموعه فرایندهای حرارتی و شکل‌دهی هستند که با آن‌ها مواد اولیه به اجزا و قطعاتی باکیفیت تبدیل می‌شود. به‌طوری‌که با کنترل مناسب پارامترهای دخیل، این فرایندها قابلیت ارائه محصولاتی با دقت ابعادی و خواص مکانیکی و متالورژیکی مطلوب با حداقل انرژی مصرفی ممکن را فراهم می‌کنند. هدف عمده از به‌کارگیری روش‌های حرارتی مکانیکی دستیابی به تغییر شکل‌های حجمی بزرگ به‌همراه اصلاح خواص ریزساختاری قطعات به‌ویژه ریخته‌گری شده است. کنترل فرایندهای حرارتی مکانیکی برای دستیابی به ابعاد موردنیاز و خواص مکانیکی و متالورژیکی بهینه با حداقل انرژی لازم برای تغییر شکل، همواره مورد توجه محققان و صنعتگران قرار گرفته است [3].

یکی از اهداف مهم تغییر شکل فلزات و آلیاژها تولید محصولاتی بی‌عیب با ریزساختاری دلخواه، با حداقل انرژی و هزینه مصرفی است. این هدف می‌تواند از طریق طراحی و روش محاسبه بهتر و همچنین به وسیله کنترل مناسب پارامترهای فرایند تغییر شکل حاصل شود. این حالت بایستی بر پایه یک دانش عمیق از پدیده‌هایی که در تغییر شکل ماده تأثیرگذار هستند و همچنین روابط بین خواص مواد تحت

تغییر شکل و شرایط تغییر شکل باشد. از آنجا که رفتار سیلان ماده در حین فرایند تغییر شکل دمابالا اغلب پیچیده است، تخمین صحیح رفتار فلزات و آلیاژها در شرایط شکل‌دهی داغ، تأثیر مهمی بر طراحی مناسب فرایندهای شکل‌دهی فلزات و انتخاب بهینه پارامترهای آن دارد.

اغلب پژوهشگران برای مطالعه رفتار سیلان فولادهای آلیاژی حین شکل‌دهی گرم از مدل‌های تئوری و تجربی برای پیش‌بینی این رفتار استفاده کرده‌اند. برای کنترل فرایندهای تغییر شکل داغ، مدل‌های توصیف‌کننده رفتار ماده ارائه شده که بایستی توانایی پیش‌بینی رفتار تغییر شکل ماده مدنظر را در طول فرایند تغییر شکل داشته باشند. در واقع مدل‌های رفتاری ارائه شده تشخیص بین انواع مختلفی از محیط‌های پیوسته را با روابط ریاضی ممکن می‌سازد. برای این منظور مدل‌های مختلفی پیشنهاد شده است که هرکدام از دیدگاهی سعی در پیش‌بینی رفتار ماده دارند. سعی و تلاش دانشمندان و محققان همواره در این جهت بوده است که بتوانند با ارائه یک مدل رفتاری مناسب، رفتار ماده را در حین تغییر شکل داغ تا حد امکان به‌طور دقیق‌تر پیش‌بینی کنند. دقت مدل‌های ارائه شده به ساختار ریاضی مدل توسعه یافته و تخمین مناسب تجربی پارامترهای کلیدی و مؤثر مدل بستگی دارد. در سال‌های گذشته تحقیقات زیادی در زمینه مدل‌های رفتاری صورت گرفته و مدل‌های مختلفی ارائه و اصلاح شده است تا حداقل در محدوده خاصی از شرایط آزمایشگاهی مدل‌های ارائه شده قادر به توصیف رفتار سیلان فلزات و آلیاژها بر اساس وابستگی شان به نرخ کرنش، کرنش و دما و همچنین ریزساختار باشند. مدل‌های مختلف تجربی، پدیدارشناختی، فیزیکی و عددی به وسیله محققان مختلف برای ارائه مدل رفتاری مناسب برای پیش‌بینی رفتار فلزات و آلیاژهای مختلف ارائه شده است [3-6]. محققان زیادی برای توصیف رفتار تغییر شکل داغ فلزات و آلیاژها، از نتایج آزمایش‌های تجربی مدل‌های مختلفی از جمله مدل جانسون-کوک برای پیش‌بینی رفتار دمابالای مواد استفاده کردند [7-9]. مدل جانسون-کوک یک مدل شناخته شده

## مواد و روش تحقیق

ترکیب شیمیایی فولاد میکروآلیاژی به کار گرفته شده در این بررسی در جدول (۱) ارائه شده است. به منظور بررسی رفتار تغییر شکل داغ ماده در آزمون فشار داغ تک محوره، نمونه‌های استوانه‌ای با ابعاد قطر و ارتفاع به ترتیب ۱۰ و ۱۵ میلی‌متر با فرایند ماشین‌کاری تهیه شد. به منظور تخمین رفتار تنش کرنش این آلیاژ با استفاده از آزمون‌های فشار داغ تک محوره از دستگاه آزمون یونیورسال Zwick Roell Z250 مجهز به کوره مقاومت الکتریکی استفاده شده است که مقادیر تنش واقعی با یک لودسل با دقت بالا و قابلیت اندازه‌گیری نیروهای بارگذاری کمتر از ۱ کیلوگرم اندازه‌گیری شده است. به منظور حداقل کردن میزان اصطکاک و کاهش بشکه‌ای شدن نمونه‌ها از ورقه‌ای نازک از میکا که در بین فک دستگاه و نمونه قرار می‌گیرد به عنوان ماده روان‌کار استفاده شده است. انجام آزمون‌های تغییر شکل داغ مطابق با برنامه آزمون نشان داده شده در شکل (۱) انجام می‌شود، یعنی در ابتدا و به منظور یکنواخت شدن دمای قطعه، نمونه‌ها را در دماهای آزمون ۱۱۷۳، ۱۲۲۳، ۱۲۷۳، ۱۳۲۳ و ۱۳۷۳ کلوین به مدت پنج دقیقه حرارت می‌دهند و سپس در نرخ‌های کرنش مختلف ۰/۰۰۱، ۰/۰۱، ۰/۱ و ۱ بر ثانیه تا کرنش ۰/۶ به صورت هم‌دما فشرده می‌کنند.

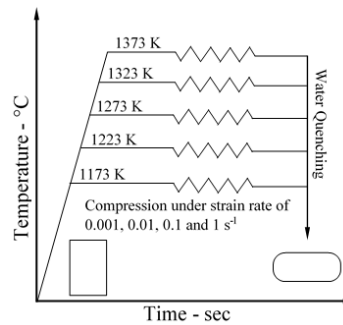
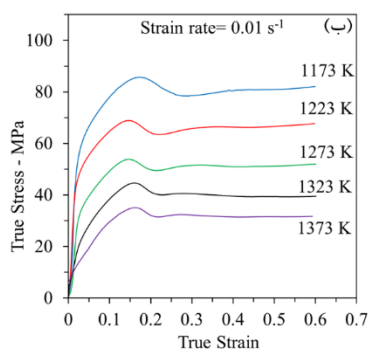
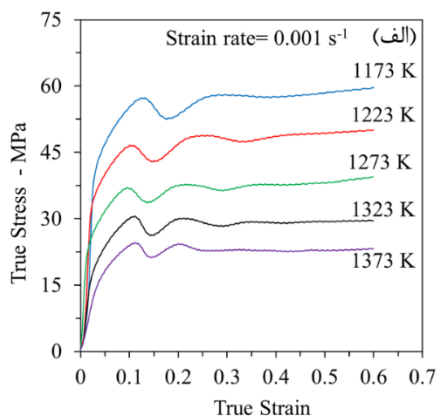
جدول ۱ ترکیب شیمیایی عناصر فولاد میکروآلیاژی L80 (wt%).

عصر	درصد
C	۰/۳۱۳
Si	۰/۲۹۴
Mn	۱/۳۵
P	۰/۰۱۴
Cr	۰/۳۲۶
Mo	۰/۰۵۲
Ni	۰/۰۵۲
Nb	۰/۰۰۳
Ti	۰/۰۲
V	۰/۰۰۴
Al	۰/۶۲۱

است که اثرات دمای تغییر شکل، کرنش و نرخ کرنش در بخش‌های مختلف مدل در نظر گرفته شده است. با این حال، به دلیل رفتار شارشی پیچیده مواد در دماهای بالای تغییر شکل، ناشی از فعال شدن مکانیسم‌های مختلف نرم‌شوندگی مانند تبلور مجدد و بازیابی دینامیکی، دقت این مدل در پیش‌بینی رفتار مواد چندان بالاست و بنابراین در برخی تحقیقات اصلاحاتی در بخش‌های مختلف مدل جانسون-کوک برای پیش‌بینی دقیق‌تر رفتار پیچیده سیلان این گونه مواد در نظر گرفته شده است [10-12]. عموماً در مدل‌های توسعه یافته اصلاح شده، اثرات ترکیبی سخت‌شوندگی و نرم‌شوندگی در نظر گرفته می‌شود که سبب افزایش دقت پیش‌بینی رفتار کار داغ مواد نسبت به مدل اصلی شده است. هی و همکارانش [13]، قابلیت پیش‌بینی مدل جانسون-کوک اصلاح شده با مدل اصلی را برای فولاد Cr/۱۰ مقایسه کردند و نشان دادند که مدل اصلاح شده توانایی پیش‌بینی بهتری نسبت به مدل اصلی دارد. محققان دیگری نیز با توسعه مدل‌های اصلاح شده برای فولادها به این موضوع اشاره کرده‌اند [14,15]. در بررسی اخیر به مطالعه رفتار مکانیکی دمای بالای فولاد میکروآلیاژی و به پیش‌بینی این رفتار با استفاده از شبکه عصبی و توسعه معادلات رفتاری مختلف پدیدارشناختی و فیزیکی یک نوع از جانسون-کوک اصلاح شده و زری-آرمسترانگ پرداخته و نشان داده شد شبکه عصبی بهترین پیش‌بینی را از رفتار فولاد بررسی شده داراست [16].

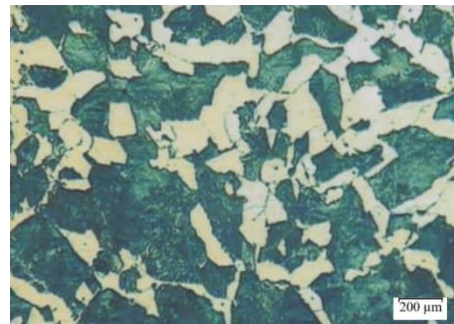
هدف از این پژوهش، بررسی رفتار سیلان فولاد میکروآلیاژی در دمای بالای تغییر شکل از طریق آزمون‌های فشار داغ در دماهای K ۱۱۷۳ تا K ۱۳۷۳ و نرخ‌های کرنش  $s^{-1}$  ۰/۰۰۱ تا  $s^{-1}$  ۱ با تغییرات ریزساختاری پس از تغییر شکل داغ هستند. برای پیش‌بینی رفتار شارشی این فولاد در دمای بالا با توجه به پارامترهای فرایندی یک مدل اصلاح شده جدید جانسون-کوک توسعه داده شده است و تغییرات ریزساختاری قطعات تغییر شکل داده شده بررسی می‌شود.

(۳) منحنی‌های تنش کرنش حقیقی به دست آمده از آزمون فشار داغ تک‌محوره در دماها و نرخ‌های کرنش مختلف تغییر شکل برای فولاد میکروآلیاژی را نشان می‌دهد، همان‌طور که از نمودارهای این شکل مشخص است، اثرات دما و نرخ کرنش تغییر شکل بر تنش شارشی این ماده چشمگیر است. روند عمومی بدین صورت است که در یک دمای مشخص با کاهش نرخ کرنش، تنش شارش کاهش می‌یابد. همچنین در یک نرخ کرنش ثابت با افزایش دما، تنش شارش ماده کاهش خواهد یافت. همان‌طور که از این نمودارها ملاحظه می‌شود، در مراحل اولیه تغییر شکل تنش شارش به دلیل غالب بودن پدیده سخت‌شوندگی به سرعت افزایش می‌یابد و پس از رسیدن به تنش پیک رفتار ماده کاملاً تغییر می‌کند، به گونه‌ای که در نرخ‌های کرنش پایین به ویژه در نرخ کرنش  $0.001 \text{ s}^{-1}$  تا  $0.01 \text{ s}^{-1}$ ، فولاد در دماهای مختلف رفتار کاملاً نرم‌شونده دارد. به طوری که مکانیسم تغییر شکل داغ فولاد در این شرایط، پدیده تبلور مجدد دینامیکی خواهد بود [18].



شکل ۱ برنامه حرارتی مکانیکی استفاده شده برای آزمون فشار در شرایط مختلف تغییر شکل.

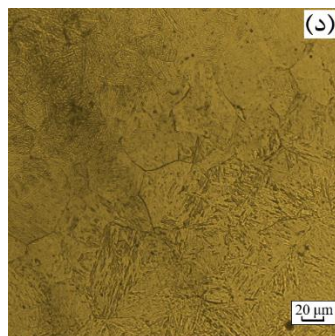
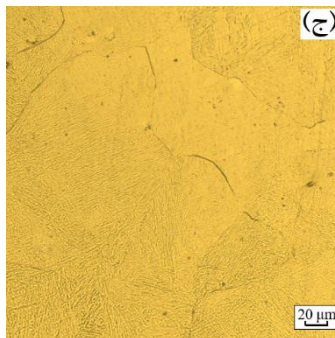
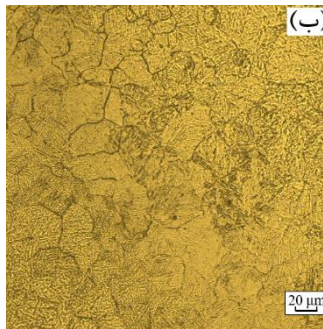
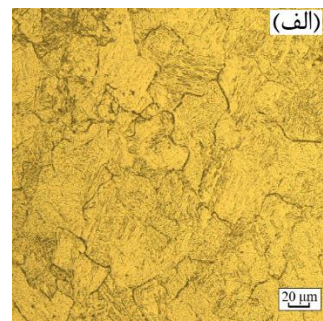
به منظور حفظ تغییرات ریزساختاری، نمونه‌های تغییر شکل یافته به سرعت در آب کوئچ شده‌اند تا تغییرات ریزساختار در اثر تغییر شکل در حالت‌های مختلف فرایندی بررسی شود. برای مشاهده ریزساختار ماده از محلول نیتال ۱۰ درصد استفاده شد. ریزساختار اولیه نمونه‌های فولادی میکروآلیاژی در شکل (۲) نشان داده شده است. مشاهده می‌شود که ساختار اولیه این فولاد دارای فاز پرلیت با زمینه قهوه‌ای رنگ و فاز فریت با زمینه روشن است. متوسط اندازه دانه در حالت اولیه بدون تغییر شکل حدود  $220 \mu\text{m}$  محاسبه شد.



شکل ۲ ریزساختار اولیه فولاد میکروآلیاژی با فازهای فریت و پرلیت.

## نتایج و بحث

**نمودارهای تنش کرنش حقیقی.** در دماهای بالاتر از تقریباً نصف دمای ذوب ماده، تغییر شکل پلاستیک مواد به طور عمده متأثر از فرایندهای فعال‌شونده حرارتی است و تنش سیلان ماده در این محدوده به طور مؤثری به دماها و نرخ‌های کرنش (ویسکوپلاستیک) اعمالی وابسته است [17]. شکل



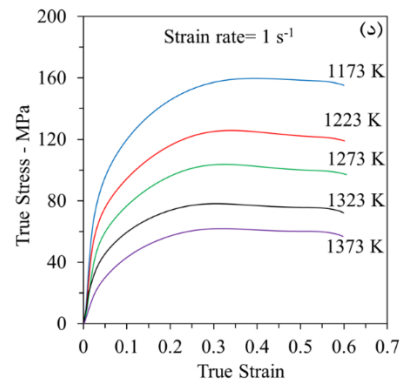
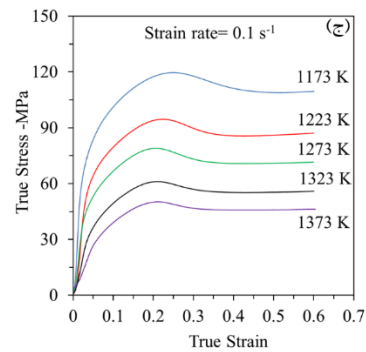
شکل ۴ ریزساختار فولاد تغییر شکل داده در نرخ کرنش  $s^{-1}$

$0/001$  و دماهای تغییر شکل (الف)  $1173\text{ K}$  و (ب)  $1223\text{ K}$

$1373\text{ K}$  و در نرخ کرنش  $1\text{ s}^{-1}$  و دماهای تغییر شکل (ج)  $1273\text{ K}$

و  $1173\text{ K}$  (د) و  $1373\text{ K}$ .

بررسی ریزساختاری. شکل (۴) تغییرات ریزساختاری صورت گرفته در قطعه تغییر شکل داده شده در آزمون فشار داغ قطعه فولاد میکروآلیاژی در نرخهای کرنش  $0/001\text{ s}^{-1}$



شکل ۳ منحنی های تنش کرنش حقیقی فولاد میکروآلیاژی در

دماهای مختلف تغییر شکل و نرخهای کرنش (الف)  $s^{-1}$

$0/001$ ، (ب)  $0/01\text{ s}^{-1}$ ، (ج)  $0/1\text{ s}^{-1}$  و (د)  $1\text{ s}^{-1}$ .

رفتار نرم‌شوندگی این فولاد را می‌توان به بخش رفتار شارشی چند قله‌ای، رفتار یک‌قله‌ای و حالت پایا تقسیم کرد. رفتار چندقله‌ای عموماً در نرخهای کرنش پایین مشاهده می‌شود که به دلیل سیکل‌های مستقل از تبلور مجدد دینامیکی در هر تنش بیشینه رخ می‌دهد [19]. رفتار شارشی چندقله‌ای در منحنی تنش کرنش نشان‌دهنده سیکل‌های متوالی تبلور مجدد دینامیکی و رشد دانه در طول یک سیکل است. بعد از این مرحله رفتار ماده به حالت پایا می‌رسد که نشان‌دهنده تعادل بین مکانیسم‌های سخت‌شوندگی و نرم‌شوندگی در فولاد است. در نرخهای کرنش بالا، نرخ کرنش  $1\text{ s}^{-1}$  رفتار این نوع فولاد یک رفتار حالت پایاست که ناشی از مکانیسم نرم‌شوندگی بازپایی دینامیکی است [18]. در این حالت رفتار ماده بعد از رسیدن به تنش بیشینه، با یک تنش حالت پایا تغییر شکل می‌دهد و ادامه پیدا می‌کند.

۱۱۷۳ به حدود  $100 \mu\text{m}$  می‌رسد. در مقابل در دمای K ۱۳۷۳، ریزساختاری با دانه‌ای ریزتر و مارتزیت‌های کوچک‌تر با اندازه‌ی بازوی حدود  $20 \mu\text{m}$  قابل مشاهده است. در این حالت نیز اندازه‌ی دانه از حدود  $150 \mu\text{m}$  به حدود  $70 \mu\text{m}$  کاهش یافته است.

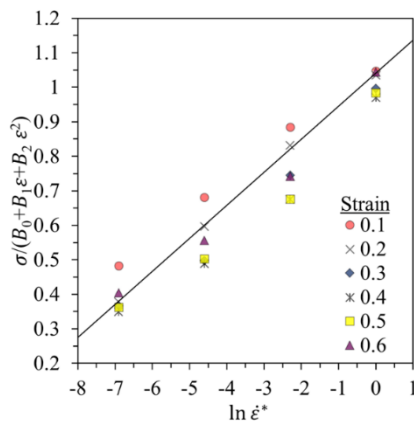
**مدل رفتاری جانسون-کوک اصلاح‌شده:** به‌منظور تخمین تنش شارش ماده در طول تغییر شکل داغ از مدل‌های رفتاری استفاده می‌شود. همچنین از نتایج و داده‌های آزمون‌های فشار داغ در شرایط مختلف دمایی، کرنشی و نرخ کرنشی برای تخمین ثوابت مادی مدل‌های رفتاری استفاده می‌شود. با توجه به اینکه در مدل جانسون-کوک اصلی، اثرات ترکیبی نرم‌شوندگی حرارتی، نرخ کرنش سخت‌شوندگی و کرنش سختی در نظر گرفته نشده است، مدل‌های اصلاح‌شده برای در نظر گرفتن این اثرات توسعه یافته‌اند. در واقع، اثرات دماها، نرخ‌های کرنش و کرنش بر رفتار سیلان ماده در مدل اولیه جانسون-کوک در نظر گرفته شد. در رابطه (۱) مدل اصلاح‌شده جانسون-کوک که از سوی لین و همکارانش [۲۱] توسعه یافته، ارائه شده است:

$$\sigma = (B_0 + B_1 \varepsilon + B_2 \varepsilon^2) (1 + C_0 \ln \dot{\varepsilon}^*) \exp[(\lambda_1 + \lambda_2 \ln \dot{\varepsilon}^*) T^*] \quad (1)$$

که در این معادله  $\dot{\varepsilon}^*$  نرخ کرنش بی‌بعد است و به‌صورت  $\dot{\varepsilon}^* = \dot{\varepsilon} / \dot{\varepsilon}_0$  تعریف می‌شود که  $\dot{\varepsilon}_0$  و  $\dot{\varepsilon}$  به ترتیب نرخ کرنش تغییر شکل و نرخ کرنش مرجع می‌باشند.  $T^*$  را می‌توان به‌صورت  $T^* = T - T_r$  تعریف کرد که در آن  $T_r$  دمای مرجع و  $T$  دمای تغییر شکل برحسب کلوین (K) است و  $B_0, B_1, B_2, C_0, \lambda_1$  و  $\lambda_2$  ثوابت مادی در مدل جانسون-کوک است. برای تعریف دما و نرخ کرنش مرجع می‌توان هر دما و نرخ کرنشی را که در بررسی وجود دارد، در نظر گرفت. با این حال، هرکدام از حالت‌های در نظر گرفته شده اثر متفاوتی بر ثوابت مادی می‌گذارند که بر دقت پیش‌بینی مدل نهایی اثرگذار است. بنابراین در این پژوهش پس از

و  $1 \text{ s}^{-1}$  و دماهای تغییر شکل ۱۱۷۳ K و ۱۳۷۳ K را نشان می‌دهد. نتایج ریزساختاری گویای اثرات مکانیسم‌های تغییر شکل داغ بر رفتار شارشی این فولاد است. در نرخ کرنش  $5^{-1}$  و در دماهای ۱۱۷۳ K به ۱۳۷۳ K، رفتار ماده یک رفتار کاملاً نرم‌شونده به‌همراه قله‌های متعدد بعد از تنش بیشینه است. انتظار می‌رود که در ریزساختار فولاد، مکانیسم نرم‌شوندگی تبلور مجدد دینامیکی رخ دهد. همان‌طور در شکل‌های ۴ (الف) و (ب) نشان داده شده است، تشکیل دانه‌های محوری در ریزساختار فلز قابل مشاهده است، به‌طوری‌که درصد دانه‌های تبلور مجدد دینامیکی شده افزایش یافته و افزایش دما سبب تشکیل دانه‌های تبلور مجدد یافته با اندازه کوچک شده است. همان‌طور که از بررسی وضعیت دانه‌ها در ریزساختار فولاد تغییر شکل داده شده مشخص است، اندازه دانه‌های تبلور مجدد یافته از حدود  $50 \mu\text{m}$  به کمتر از  $20 \mu\text{m}$  کاهش یافته است. همچنین، استحاله‌های فازی در فولادها نیز بر رفتار شارشی آن‌ها اثرگذارند، به‌گونه‌ای که فولادهای چندفازی، در فازها نیز پدیده‌های جوانه‌زنی و رشد فازهای دیگر مشاهده می‌شود [۲۰]. بنابراین، استحاله فازی سبب تشکیل فاز مارتزیت و فریت شده است که به‌صورت لایه‌های فازی کشیده (سوزنی‌شکل) در داخل دانه‌های تبلور مجدد یافته مشاهده می‌شوند [۲۰]. نکته مهم در استحاله فازی، تشکیل فازهای متبلور شده است که صفحات مارتزیت کوچک‌تری در دمای K ۱۳۷۳ نسبت به دماهای کمتر ارائه می‌کنند. در مقابل در نرخ کرنش  $1 \text{ s}^{-1}$  یک رفتار حالت پایدار در تنش شارش فولاد میکروآلیاژ مشاهده می‌شود، در نتیجه در این نرخ کرنش، دانه‌های تغییر شکل یافته به نسبت بزرگ‌تری در ریزساختار این فولاد تغییر شکل داده شده انتظار می‌رود. با توجه به شکل‌های ۴ (ج) و (د)، مشاهده می‌شود که پدیده بازبایی دینامیکی به‌عنوان مکانیسم غالب نرم‌شوندگی در نرخ کرنش  $1 \text{ s}^{-1}$  رخ داده است [۲۰] که دمای تغییر شکل سبب تغییر فاز ماده از پرلیت به آستینیت و تشکیل دانه‌های سوزنی مارتزیت شده است، به‌طوری‌که طول صفحات مارتزیتی در دمای K

در کرنش‌های مختلف، با جاگذاری نرخ‌های کرنش تغییر شکل و متعاقب آن تنش شارش مربوطه در معادله (۳)، رابطه بین  $\sigma/(B_0 + B_1\varepsilon + B_2\varepsilon^2)$  و  $\ln\varepsilon^*$  را می‌توان با تطبیق خطی نقاط به دست آمده در کرنش‌های مختلف، همان‌طور که در شکل (۶) نشان داده شده است، محاسبه کرد. سپس، ثابت مادی  $C_0$  حاصل از میانگین شیب خطوط تطبیق خطی در کرنش‌های ۰/۱ تا ۰/۶، مقدار ۰/۰۸۵ محاسبه شد.



شکل ۶ رابطه بین  $\sigma/(B_0 + B_1\varepsilon + B_2\varepsilon^2)$  و  $\ln\varepsilon^*$  برای محاسبه ضریب  $C_0$ .

در پایان، برای تعیین ثوابت مادی موجود در بخش سوم مدل اصلاح شده جانسون-کوک، یعنی  $\lambda_1$  و  $\lambda_2$ ، در ابتدا پارامتر جدید  $\lambda$  را تعریف کرده که برابر است با  $\lambda = \lambda_1 + \lambda_2 \ln\varepsilon^*$  مشخص است که  $\lambda$ ، فقط تابعی از نرخ کرنش است، بنابراین با لگاریتم گرفتن از دو طرف معادله (۱) رابطه (۴) حاصل می‌شود:

$$\ln \left[ \frac{\sigma}{(B_0 + B_1\varepsilon + B_2\varepsilon^2)(1 + C_0 \ln\varepsilon^*)} \right] = \lambda T^* \quad (4)$$

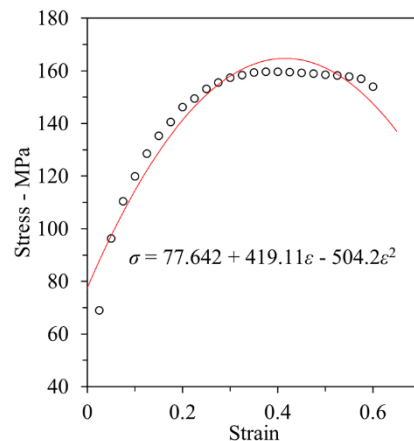
مقدار  $\lambda$  را می‌توان به وسیله انطباق خطی از رابطه خطی بین  $\ln[\sigma/(B_0 + B_1\varepsilon + B_2\varepsilon^2)(1 + C_0 \ln\varepsilon^*)]$  و  $T^*$  در نرخ‌های کرنش و دماهای تغییر شکل مختلف مطابق شکل (۷) به دست آورد. برای چهار نرخ کرنش مختلف استفاده شده در این پژوهش مقادیر  $0.0067$ ،  $-0.00471$ ،  $-0.00477$  و  $-0.00486$  به عنوان مقادیر  $\lambda$  اصل شد.

بررسی‌های اولیه بر پارامترهای مختلف فرایندی، دما و نرخ کرنش مرجع برای توسعه معادله رفتاری جانسون-کوک اصلاح شده به ترتیب کمترین دما و بیشترین نرخ کرنش یعنی  $1173 \text{ K}$  و  $1 \text{ s}^{-1}$ ، انتخاب شدند.

برای تعیین ثوابت مادی مدل جانسون-کوک اصلاح شده، ابتدا در شرایط مرجع معادله رفتاری توسعه و بازنویسی می‌شود، سپس معادله رفتاری در رابطه (۱) به صورت تابعی از کرنش و به صورت رابطه (۲) حاصل می‌شود:

$$\sigma = B_0 + B_1\varepsilon + B_2\varepsilon^2 \quad (2)$$

همان‌طور که در شکل (۵) نشان داده شده است، با جاگذاری مقادیر کرنش و تنش شارش تجربی حاصل آزمون فشار داغ در دمای  $1173 \text{ K}$  و نرخ کرنش  $1 \text{ s}^{-1}$  در معادله (۲)، مقادیر ثوابت مادی می‌توان از رابطه به دست آمده حاصل از تطبیق یک چندجمله‌ای درجه دوم به دست آورد. در پایان، مقادیر ثوابت مادی  $B_0$ ،  $B_1$  و  $B_2$  به ترتیب  $77/642 \text{ MPa}$ ،  $419/11 \text{ MPa}$  و  $-504/2 \text{ MPa}$  به دست می‌آید.

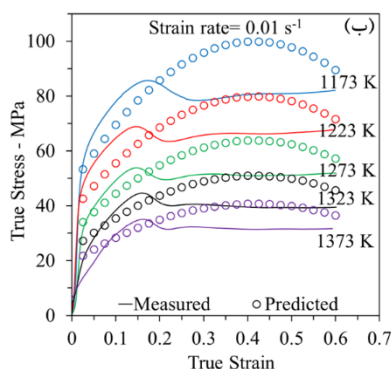
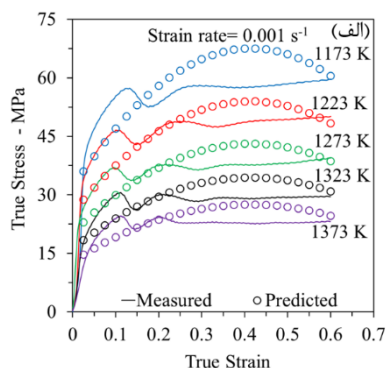


شکل ۵ رابطه بین تنش و کرنش در دما و نرخ کرنش مرجع.

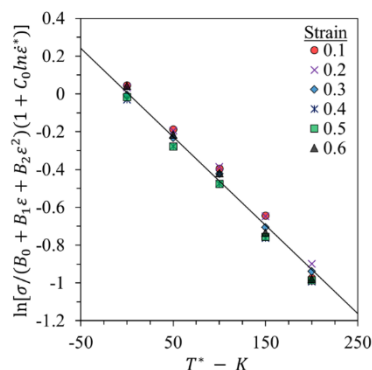
در دمای تغییر شکل  $1173 \text{ K}$  (دمای مرجع)، رابطه (۱) را برای محاسبه ثابت مادی  $C_0$  می‌توان به صورت رابطه (۳) بازنویسی کرد:

$$\frac{\sigma}{(B_0 + B_1\varepsilon + B_2\varepsilon^2)} = 1 + C_0 \ln\varepsilon^* \quad (3)$$

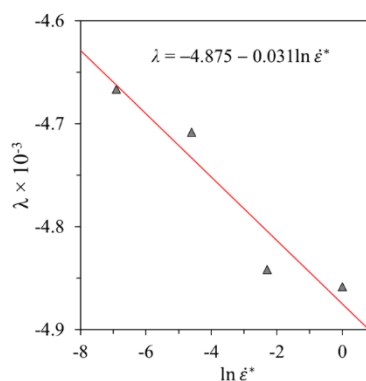
فشار داغ در شکل (۹) نشان داده شده است. همان‌طور که از مقایسه این نمودارها مشخص است، معادله توسعه‌یافته توانایی پیش‌بینی قابل قبول رفتار شارشی این فولاد را داراست. به طوری که در شکل (۹) (د) در نرخ کرنش  $1 \text{ s}^{-1}$  و در همه دماهای تغییر شکل دقت پیش‌بینی مدل مذکور بسیار خوب است و یک هم‌بستگی مناسب بین نتایج تجربی و نتایج پیش‌بینی حاصل از مدل توسعه‌یافته برقرار است؛ یعنی مدل رفتاری توسعه‌یافته قادر خواهد بود رفتار نرم‌شوندگی ماده را به درستی نمایش دهد. با این حال بررسی نتایج نشان می‌دهد که با کاهش نرخ کرنش، دقت پیش‌بینی مدل توسعه‌یافته نیز کاهش می‌یابد. در شکل (۹-ج) در نرخ کرنش  $0.1 \text{ s}^{-1}$ ، محدوده دمایی با این مدل به خوبی نشان داده شده است و در مراحل اولیه تغییر شکل رفتار ماده به خوبی پیش‌بینی شده است؛ اما در نرخ‌های کرنش  $0.01$  و  $0.001 \text{ s}^{-1}$  به دلیل پیچیدگی رفتار شارشی فولاد میکروآلیاژی L80، هم‌بستگی بین داده‌های پیش‌بینی شده و نتایج تجربی کمتر است (شکل (۹-الف و ب)).



همان‌طور که در شکل (۸) نشان داده شده است، مقادیر  $\lambda_1$  و  $\lambda_2$  از شیب خط حاصل ترسیم  $\ln \epsilon^* - \lambda$  به دست می‌آید که  $0.00031$  و  $-0.0047$  به ترتیب نشان‌دهنده  $\lambda_1$  و  $\lambda_2$  هستند.



شکل ۷ رابطه بین  $\ln[\sigma / (B_0 + B_1 \epsilon + B_2 \epsilon^2)(1 + C_0 \ln \epsilon^*)]$  و  $T^*$  برای محاسبه  $\lambda$  در نرخ کرنش  $0.001 \text{ s}^{-1}$ .



شکل ۸ رابطه بین  $\lambda$  و  $\ln \epsilon^*$  برای محاسبه مقادیر  $\lambda_1$  و  $\lambda_2$ .

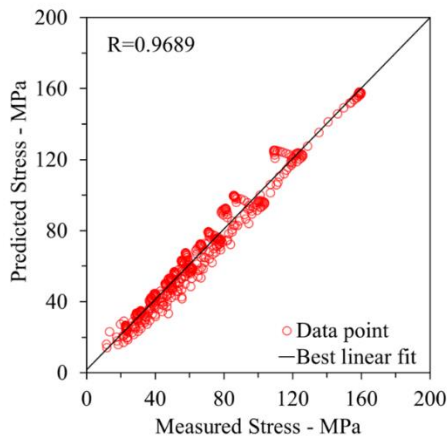
بنابراین، در پایان محاسبه همه ثوابت مادی، مدل رفتاری توسعه‌یافته جانسون-کوک اصلاح شده برای فولاد میکروآلیاژی تحت بررسی به صورت رابطه (۵) بیان می‌شود:

$$\sigma = (77.642 + 419.11\epsilon - 504.2\epsilon^2)(1 + 0.085 \ln \epsilon^*) \exp[-(0.0047 + 0.000031 \ln \epsilon^*)T^*] \quad (5)$$

مقایسه‌ای بین نتایج پیش‌بینی شده از مدل رفتاری توسعه‌یافته جانسون-کوک اصلاح شده در این پژوهش و نتایج تنش و کرنش حقیقی حاصل از آزمایش‌های تجربی



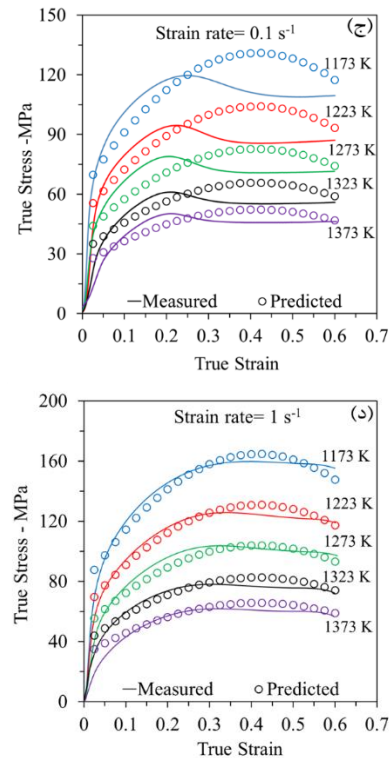
در این پژوهش است. شکل (۱۰) مقایسه‌ای بین مقادیر تنش حقیقی از آزمایش‌های تجربی و نتایج پیش‌بینی شده از مدل رفتاری ارائه‌شده را نشان می‌دهد که حاکی از دقت مناسب مدل رفتاری ارائه‌شده است. مقدار ضریب هم‌بستگی بین مقادیر تنش شارش اندازه‌گیری شده و پیش‌بینی شده در این حالت نزدیک به ۰/۹۶۸۹ است. درصد میانگین خطای نسبی مطلق کل داده‌های پیش‌بینی شده و تجربی حدود ۱۰/۸۵ درصد است که نشان‌دهنده خطای نسبتاً خوب و قابل قبول در پیش‌بینی است. به‌طور کلی، مقادیر ضریب هم‌بستگی و خطای مطلق، مؤید این مطلب است که مدل رفتاری ارائه‌شده و معادله رفتاری توسعه‌داده‌شده از تخمین نسبتاً مناسبی برای پیش‌بینی تنش شارش فولاد میکروآلیاژی L80 در تغییر شکل داغ برخوردار است. بنابراین می‌توان از این مدل رفتاری با اطمینان قابل‌قبولی برای تحلیل مسائل شکل‌دهی داغ این فولاد استفاده کرد.



شکل ۱۰ ارتباط بین داده‌های تنش شارش آزمایشی و پیش‌بینی شده از مدل رفتاری توسعه‌داده‌شده.

### نتیجه‌گیری

در این بررسی، تحلیل رفتار فولاد میکروآلیاژی L80 در دمای بالای تغییر شکل با استفاده از آزمون فشار داغ تک‌محوره در گستره وسیعی از دماها و نرخ‌های کرنش انجام گرفت. نتایج نشان داد رفتار شارشی این فولاد یک رفتاری کاملاً پیچیده است که مکانیسم‌های نرم‌شوندگی بر تنش



شکل ۹ مقایسه بین منحنی‌های تنش شارش اندازه‌گیری و پیش‌بینی شده فولاد میکروآلیاژی در نرخ‌های کرنش مختلف (الف) ۰/۰۰۱، (ب) ۰/۰۱، (ج) ۰/۱ و (د) ۱ بر ثانیه.

برای بررسی بهتر قابلیت و دقت پیش‌بینی مدل رفتاری جانسون-کوک اصلاح‌شده توسعه‌داده‌شده از پارامترهای آماری استاندارد شامل ضریب هم‌بستگی ( $R$ ) و درصد میانگین خطای نسبی مطلق (AARE) که به ترتیب در رابطه‌های (۶) و (۷) ارائه شده است، استفاده می‌شود:

$$R = \frac{\sum_{i=1}^N (E_i - \bar{E})(P_i - \bar{P})}{\sqrt{\sum_{i=1}^N (E_i - \bar{E})^2 \sum_{i=1}^N (P_i - \bar{P})^2}} \quad (6)$$

$$\text{AARE} (\%) = \frac{1}{N} \sum_{i=1}^N \left| \frac{E_i - P_i}{E_i} \right| \times 100 \quad (7)$$

که در روابط فوق  $E_i$  و  $P_i$  به ترتیب تنش تجربی و تنش پیش‌بینی شده هستند، همچنین،  $\bar{E}$  و  $\bar{P}$  مقادیر تنش متوسط تجربی و پیش‌بینی شده هستند.  $N$  تعداد داده‌های بررسی شده

توسعه داده شده جانسون-کوک اصلاح شده با در نظر گرفتن اثرات کرنش، نرخ کرنش و دمای پیش‌بینی قابل قبولی از رفتار شارشی فولاد میکروآلیاژی نشان داد. مقایسه بین نتایج پیش‌بینی شده از معادله رفتاری توسعه داده شده و نتایج آزمایش‌های تجربی حاکی از دقت مناسب مدل ارائه شده برای پیش‌بینی رفتار این ماده در محدوده کار داغ است. بنابراین از مدل رفتاری توسعه داده شده در این تحقیق می‌توان با اطمینان قابل قبولی در پیش‌بینی رفتار دمابالا و همچنین شبیه‌سازی‌ها کار داغ فولاد میکروآلیاژی استفاده کرد.

شارش اثر قابل توجهی گذاشتند و اینکه با افزایش دما یا کاهش نرخ کرنش، تنش شارش ماده کاهش می‌یابد، در حالی که مقادیر تنش شارش به میزان تغییر شکل یا کرنش اعمالی نیز حساس است، به طوری که نمی‌توان از اثر آن بر رفتار تغییر شکل داغ این آلیاژ فولادی صرف نظر کرد. مشاهدات ریزساختاری نیز رفتار نرم‌شوندگی ماده را به خوبی توصیف کرد و نشان داد که در نرخ‌های کرنش پایین، مکانیسم تبلور مجدد دینامیکی، مکانیسم غالب در فرایند تغییر شکل این فولاد است. همچنین، مدل رفتاری

### مراجع

1. Faria, G.L., Paula, J.M.A. and Lima, M.S.F., "Characterization of phase transformations and microstructural changes in an API 5CT L80 steel grade during Ni alloy laser cladding", *Materials Research*, Vol. 21, NO. 5, pp. 1-9, (2018).
2. Kennedy, J.R., Wiskel, J.B., Ivey, D.G. and Henein, H., "L80 pipe steel microstructure assessment using ultrasonic testing", *Materials Science and Technology*, Vol. 35, NO. 16, pp. 1942-1949, (2019).
3. Rezaei Ashtiani, H.R., Parsa, M.H. and Bisadi, H., "Constitutive equations for elevated temperature flow behavior of commercial purity aluminum", *Materials Science and Engineering A*, Vol. 545, pp. 61-67, (2012).
4. Lin, Y.C. and Chen, X.M., "A review of experimental results and constitutive description for metals in hot working", *Materials and Design*, Vol. 32, NO. 4, pp. 1733-1759, (2011).
5. Mandal, S., Rakesh, V., Sivaprasad, P.V., Venugopal, S. and Kasiviswanathan, K.V., "Constitutive equations to predict high temperature flow stress in a Ti-modified austenitic stainless steel", *Materials Science and Engineering A*, Vol. 500, NO. 1, pp. 114-121, (2009).
6. Rezaei Ashtiani, H.R. and Shahsavari, P., "Strain-dependent constitutive equations to predict high temperature flow behavior of AA2030 aluminum alloy", *Mechanics of Materials*, Vol. 100, pp. 209-218, (2016).
7. Lin, Y.C., Li, Q.F., Xia, Y.C. and Li, L.T., "A phenomenological constitutive model for high temperature flow stress prediction of Al-Cu-Mg alloy", *Materials Science and Engineering A*, Vol. 534, pp. 654-662, (2012).
8. Mohanraj, M. and Dong, W.D., "Johnson Cook material and failure model parameter estimation of AISI-1045 medium carbon steel for metal forming application", *Materials*, Vol. 12, No. 4, pp. 1-18, (2019).
9. Rezaei Ashtiani, H.R. and Shahsavari, P., "A comparative study on the phenomenological and artificial neural network models to predict hot deformation behavior of AlCuMgPb alloy", *Journal of Alloys and Compounds*, Vol. 687, pp. 263-273, (2016).
10. Wang, Y.P., Han, C.J., Wang, C. and Li, S.K., "A modified Johnson-Cook model for 30Cr2Ni4MoV rotor steel over a wide range of temperature and strain rate", *Journal of Materials Science*, Vol. 46, pp. 2922-2927,

- (2011).
11. Xu, L., Chen, L., Chen, G. and Wang, M., "Hot deformation behavior and microstructure analysis of 25Cr3Mo3NiNb steel during hot compression tests", *Vacuum*, Vol. 147, pp. 8–17, (2018).
  12. He, A., Xie, G., Zhang, H. and Wang, X., "A comparative study on Johnson-Cook, modified Johnson-Cook and Arrhenius-type constitutive models to predict the high temperature flow stress in 20CrMo alloy steel", *Materials and Design*, Vol. 52, pp. 677–685, (2013).
  13. He, J., Chen, F., Wang, B. and Zhu, L.B., "A modified Johnson-Cook model for 10%Cr steel at elevated temperatures and a wide range of strain rates", *Materials Science and Engineering A*, Vol. 715, pp. 1–9, (2018).
  14. Bobbili, R. and Madhu, V., "Constitutive modeling of hot deformation behavior of high-strength armor steel", *Journal of Materials Engineering and Performance*, Vol. 25, pp.1829–1838, (2013).
  15. Li, H.Y., Wang, X.F., Duan, J.Y. and Liu, J.J., "A modified Johnson Cook model for elevated temperature flow behavior of T24 steel", *Materials Science and Engineering A*, Vol. 577, pp. 138–146, (2013).
  16. Ahmadi, H., Rezaei Ashtiani, H.R. and Heidari, M., "A comparative study of phenomenological, physically-based, and artificial neural network models to predict the Hot flow behavior of API 5CT-L80 steel", *Materials Today Communications*, Vol. 25, pp. 101528, (2020).
  17. Verlinden, B., Driver, J., Samajdar, I. and Doherty, D., "Thermo-mechanical processing of metallic materials", Elsevier Science publication, Amsterdam, pp. 57-105, (2007).
  18. Lin, Y.C., Wu, X.Y., Chen, X.M., Chen, J., Wen, D.X., Zhang, J.L. and Li, L.T., "EBSD study of a hot deformed nickel-based superalloy", *Journal of Alloys and Compounds*, Vol. 640, pp. 101–113, (2015).
  19. Saadatkia, S., Mirzadeh, H. and Cabrera, J.M., "Hot deformation behavior, dynamic recrystallization, and physically-based constitutive modeling of plain carbon steels", *Materials Science and Engineering A*, Vol. 636, pp.196–202, (2015).
  20. Zhao, L., Park, N., Tian, Y., Shibata, A. and Tsuji, N., "Combination of dynamic transformation and dynamic recrystallization for realizing ultrafine-grained steels with superior mechanical properties", *Scientific Reports*, Vol. 6, pp. 1-11, (2016).
  21. Lin, Y.C., Chen, X.M. and Liu, G., "A modified Johnson-Cook model for tensile behaviors of typical high-strength alloy steel", *Materials Science and Engineering A*, Vol. 527, pp. 6980–6986, (2010).

